

京大工正寺田學

柳谷俊

佐野修

1. まえがき

岩石試料の変形に伴い内部に microfracture が発生すると、その周辺に蓄積されたひずみエネルギーは表面エネルギーと運動エネルギーととなって解放される。その際、運動エネルギーは微弱な応力波となって放出される。筆者らはこの現象(AEの放出)に注目し、試料の破壊過程の進展状態やクラックの性質に関する情報を得られることを目的に報告した。とくに岩石のクリープ時におけるひずみの変化が正確にAEの累積頻度と対応することもわかった。これまでの研究によれば花崗岩のクリープにおいては横ひずみが縦ひずみ(加圧軸方向)より大きいことさえあり、レバーやひずみの変化率は縦方向よりも横方向の方が卓越することがわかつている。AEの放出が岩石内部の microfracture に対応していることを考えると、岩石におけるクリープは時間依存性の microfracture の集積であることがわかる。岩石のクリープ時におけるひずみは多種多样にばらつき、レバーや Fig. 1 に示すように strain-jump をおこすことがあることから、岩石の粒子サイズの応力場、強度の異方性、および破壊の進行過程の異方性によることが推察される。筆者らは岩石の圧縮過程におけるひずみ観測を行い、strain-jump をおこす過程を詳細に計測したのでここに報告する。

2. 実験方法

岩石試料にはヒマガラ岩を用い、寸法 $60 \times 60 \times 120$ (mm) で、精度は $\pm 2.5/100$ mm 以内に仕上げたものを用いた。ストレンジージを Fig. 2 に示すように接着し、各ひずみ正確度よく短時間で読み取るためにデジタルストレンメータを使用した。

載荷には荷重速度一定にサーボコントローラーに島津製高速制御圧縮試験機を使用し、計測は Fig. 3 に示すプログラムのように行った。載荷をダイレクトに設定レベルだったのは、クリープ設定にいたるまでの試料のひずみの変化、荷重の漸増減に伴うヤンク率の変化、設定荷重の違いによるトランジエントクリープひずみの変化などを計測することも目的としたためである。また、ひずみの計測と同時に、4個のピッカップによる AE 波の観測を行い、microfracture のソースロケーションを行った。

3. 実験結果とその考察

実験結果は Fig. 4, Fig. 5, Fig. 6 に示すとおりである。Fig. 4, Fig. 5 は Load-Time-Chart における 39,100 秒でクリープを設定した時の縦ひずみと横ひずみの変化曲線である。図中に 9,300 秒, 31,310 秒におけるひずみ量も書き入れている。縦ひずみの変化から試料は曲げたうえに圧縮されたことわかるが、横ひずみの伸びは A 面が最も大きく、反対側の B 面が小さいのは、明らかに微小破壊が累積性をもっていることを示している。9,300～31,310 秒の前のクリープでは 19 番 (A 面右下) の横ひずみが最も顕著にのびており、主応力方向に平行に引張り破壊がこの領域で卓越していることがわかる。AE 波観測による microfracture のソースロケーションもこの結果を支持している。3,910 秒のクリープ設定時までに A 面右下は局部破壊をおこしている。この結果、破壊域は明らかに上部にも影響を及ぼし A 面右上、B 面左上に移動し、ひずみ時間曲線上の strain-jump (39,500 秒附近) の直前には A 面右上・B 面左上領域が急激に破壊したと考えられる。クリープ設定後の領域は最終的には隣接に入り、strain-jump 時に巨視的破壊が発生し、肉眼でも認められた。この結果が示したようす柱が分离し、縦、横のひずみは切削したイメージ外はすべて繋がりした。strain-jump はこの巨視的圧縮の分離の結果他の領域に応力が分配されたことを示している。その結果、39,13 の領域で横ひずみ

が急速に大きくなつて引張り破壊が伸展し、その領域に対応する鋸ひずみは破壊直後はぐら緩和し、破壊までの間に集中せられたことなどがうがえる。とくに試料内に巨視的な破壊があつたにもかかわらず、破壊域に見られる応力は他の部分に再分配され、試料全体が急速に崩壊を始めたのであろう。

岩石の圧縮過程の非弾性的変形舞いは microfracture に帰因するが、一軸圧縮においては試料全体の崩壊は主として継ぎ方向のクラックの集積にもとづく圧縮軸方向のたて割れにより分離された柱の構造的不安定に基づくものと考えられる。

4. おわりに

岩石内の microfracture の増減によって正確にモニターできることがわかつたので振削や崩壊によつて作られる岩盤内の不安定域が拡大するか、応力の再配分によつて安全にあがむかなどの予測ができるとの確信を得られた。

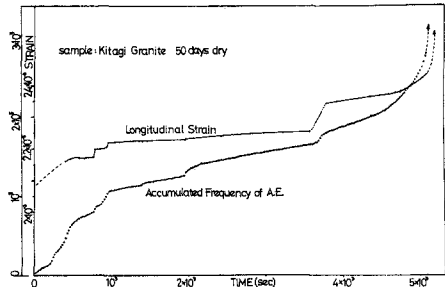


FIG.1

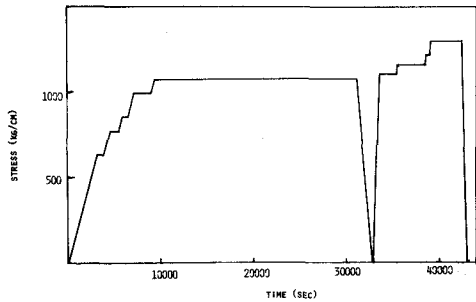


FIG.2

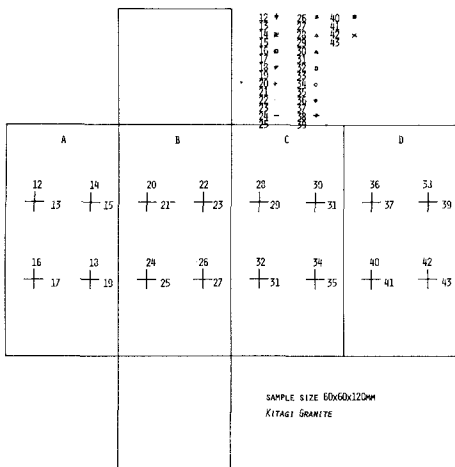


FIG.3

FIG.4

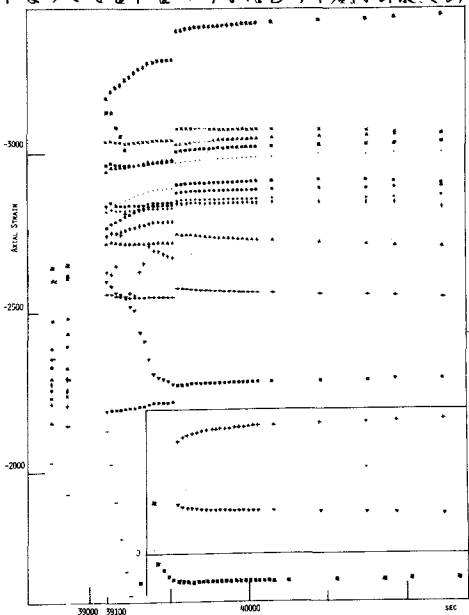


FIG.5

